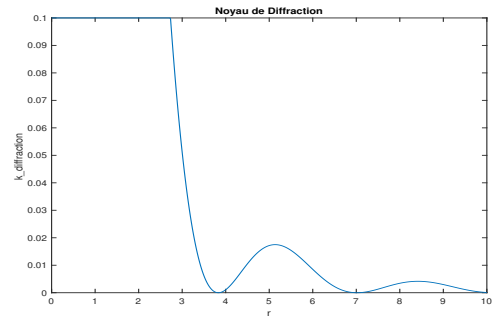
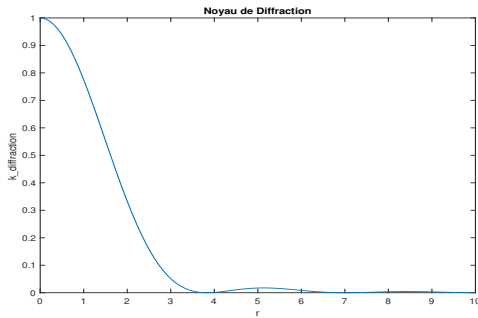


# TP 1 - Diffraction par une Pupille Circulaire

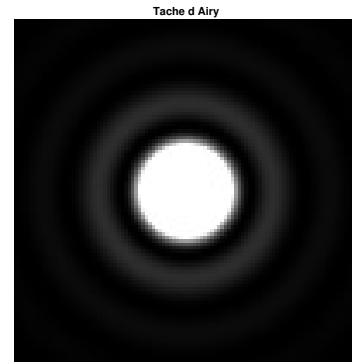
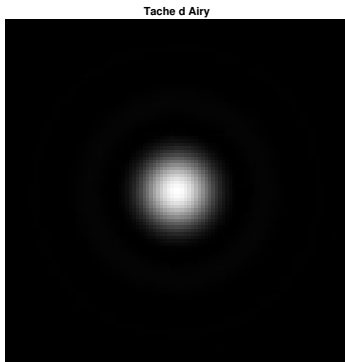
Imagerie sous-pixellique

Tong ZHAO (tong.zhao@eleves.enpc.fr)

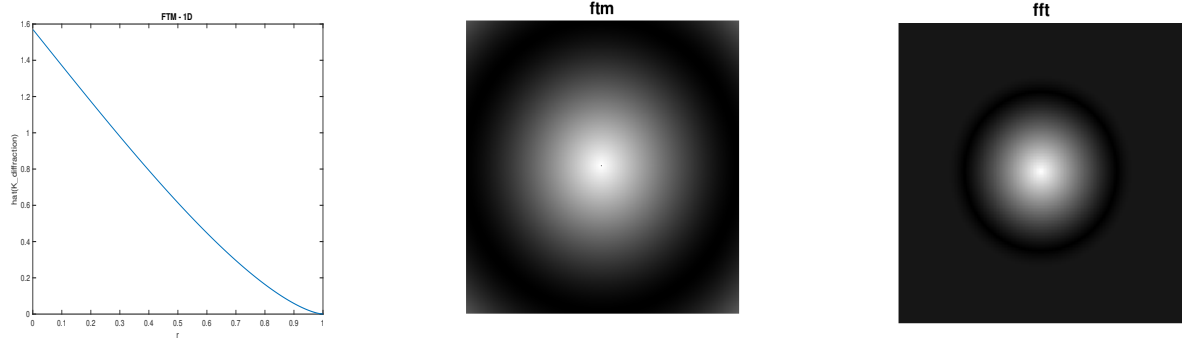
(1) En échantillonnant 1000 points uniformément sur l'intervall  $[0.001, 10]$ , on calcule le noyau de diffraction et trace la courbe. La figure à gauche correspond la fonction et celle à droite correspond la fonction bornée par 0.1.



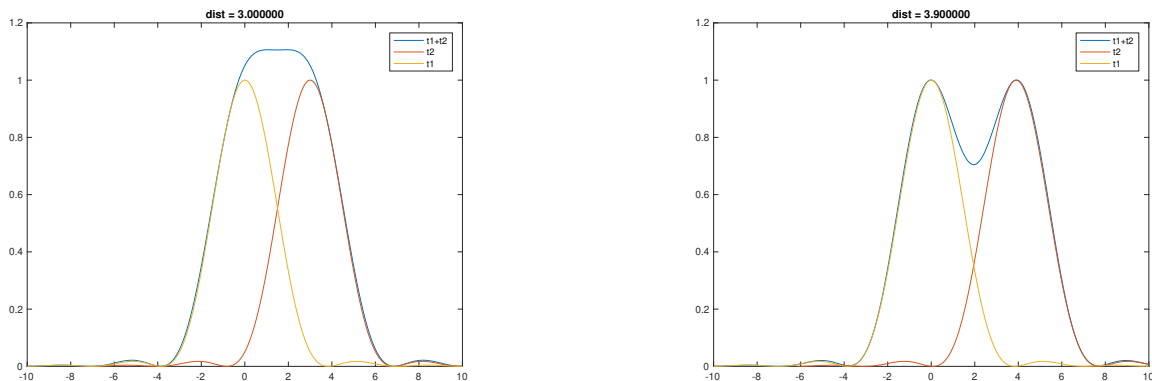
(2) On génère une grille de taille  $100 \times 100$  sur l'intervall  $[-10, 10]^2$ . Pour éviter la quantité indéterminée  $0/0$  dans les calculs, on met 0 sur le point d'origine. La figure à gauche correspond la fonction sans saturation et celle à droite correspond la fonction avec saturation  $[0, 0.1]$



(3) On prend tout d'abord 100 points entre 0.001 et 1, ensuite on calcule le profil radial. Après on calcule la fonction de transfert de modulation sur une image bidimensionnelle de taille  $201 \times 201$  échantillonnée sur l'intervall  $[-1, 1]^2$ . Pour comparer le résultat avec la transformée de Fourier discrète, on applique la commande `fft2` calculée sur une tâche d'Airy sur le domaine  $[-100, 100]^2$ .



(4) Afin de déterminer numériquement le résultat, on fixe tout d'abord une tâche d'Airy et on translate l'autre petit à petit. Ici on s'intéresse aux deux points, le point qui représente le critère de rayleigh et le point qu'on n'admet plus qu'un seul maximum sur la droite qui joint les centres. On voit que la proportion entre deux distances est vers  $\frac{3.0}{3.9} = 0.77$ .



(5) On calcule le noyau de diffraction associé à un disque de diamètre  $D$  occulté au centre par un disque de diamètre  $\epsilon D$ .

$$K(x, y) = \frac{1}{2f^2} \left| \int_{\epsilon D/2}^{D/2} \int_0^{2\pi} \exp\left(\frac{2i\pi\rho(x\cos\theta + y\sin\theta)}{\lambda f}\right) \rho d\theta d\rho \right|^2$$

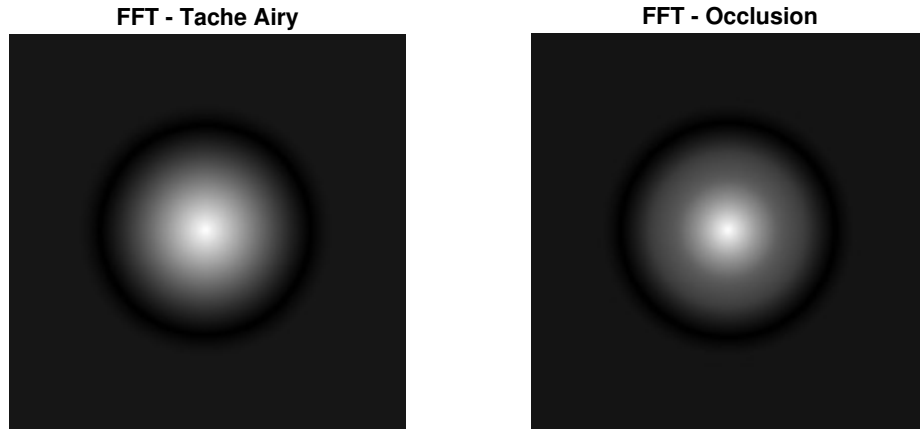
En utilisant la propriété de symétrie et le changement de variable  $\rho' = 2r\rho/D$ , on a

$$K(\mathbf{x}) = \frac{1}{2f^2} \left| \frac{2D^2}{4r^2} \int_{\epsilon r}^r \int_0^\pi \cos(\rho' \sin\theta) \rho' d\theta d\rho' \right|^2 = \frac{\pi^2 D^4}{8f^2} \left| \frac{1}{r^2} \int_{\epsilon r}^r J_0(\rho') \rho' d\rho' \right|^2$$

Donc on a:

$$K(\mathbf{x}) = \frac{\pi^2 D^4}{32 f^2} \left( \frac{2J_1(r)}{r} - \frac{2\epsilon J_1(\epsilon r)}{r} \right)^2 = C \left( \frac{2J_1(r)}{r} - \frac{2\epsilon J_1(\epsilon r)}{r} \right)^2$$

(6) On fait une tâche d'airy sur un disque et l'autre sur une pupille de télescope. On utilise la fonction **fft2** pour trouver le support de la FTM et on visualise le résultat. La figure à gauche correspond le support de la FTM sur une disque et celle à droite correspond le support de la FTM sur une pupille de telescope. On en déduit que les résolutions respectives d'un télescope et d'une lunette de mêmes diamètres sont presque les memes.



### Fiche 1: kernel\_diffraction.m

```
1      function [ k_df ] = kernel_diffraction( r, c )
2      %calculate the kernel of the diffraction
3      %    k_df(r) = C * (2 J1(r) / r)^2
4      if r == 0
5          k_df = c;
6      else
7          k_df = c .* ((2 .* besselj(1, r) ./ r).^2);
8      end
9      end
```

### Fiche 2: ftm\_diffraction.m

```
1      function [ k_ftm ] = ftm_diffraction( r, c )
2      %Module de la transform?e de Fourier
3      %    k_ftm = c * (arccos(r) - r * sqrt(1 - r^2))
4
5      k_ftm = c .* (acos(r) - r .* sqrt(1 - r.^2));
6      end
```

### Fiche 3: occlusion\_diffraction.m

```
1      function [ occ_df ] = occlusion_diffraction( r, delta, c )
2      %Calculer le noyau de diffraction sur une pupille de t?l?scope
3      %    Detailed explanation goes here
4      term_r = 2 .* besselj(1, r) ./ r;
5      term_delta = (2 * delta) .* besselj(1, delta .* r) ./ r;
6      occ_df = c .* (term_r - term_delta) .^ 2;
7      end
```

### Fiche 4: main.m

```
1      %%% Exercice 1
2      %%% Diffraction par une pupille circulaire
3
4      %%% Part 1
5
6      lr = linspace(0.001, 10, 1000);
7      lk_df = kernel_diffraction(lr, 1);
8
9      figure(1);
10     %plot(lr, lk_df);
11     plot(lr, min(0.1, lk_df));
12     title('Noyau de Diffraction');
13     xlabel('r');
14     ylabel('k\_diffraction');
15
16     %%% Part 2
```

```

17
18     [lx, ly] = meshgrid(linspace(-10, 10, 100), linspace(-10, 10,
19                          100));
20     lr = sqrt(lx.^2 + ly.^2);
21     lk_df = kernel_diffraction(lr, 1);
22
23     figure(2);
24     %imshow(lk_df, 'InitialMagnification', 'fit');
25     % Resultat avec saturation
26     imshow(lk_df, [0, .1], 'InitialMagnification', 'fit');
27     title('Tache d Airy');
28
29     %% Part 3
30
31     lr = linspace(0.001, 1, 100);
32     lk_ftm = ftm_diffraction(lr, 1);
33
34     figure(3);
35     plot(lr, lk_ftm);
36     title('FTM - 1D');
37     xlabel('r');
38     ylabel('hat(K\diffraction)');
39     [lx, ly] = meshgrid(-1:0.005:1, -1:0.005:1);
40     lr = sqrt(lx.^2 + ly.^2);
41     lk_ftm = abs(ftm_diffraction(lr, 1));
42     lk_ftm(lr == 0) = 0;
43
44     [lx_fft, ly_fft] = meshgrid(-100:1:100, -100:1:100);
45     lr_fft = sqrt(lx_fft.^2 + ly_fft.^2);
46     lk_df = kernel_diffraction(lr_fft, 1);
47     lk_df(lr_fft == 0) = 0;
48     lfft = fftshift(abs(fft2(lk_df)));
49
50     figure(4);
51     subplot(1, 2, 1);
52     imshow(lk_ftm, [], 'InitialMagnification', 'fit');
53     title('FTM');
54     subplot(1, 2, 2);
55     imshow(lfft, [], 'InitialMagnification', 'fit');
56     title('FFT');
57
58     %% Part 4
59
60     lr = linspace(-10, 10, 1000);
61     lk_df = kernel_diffraction(lr, 1);
62
63     k = 195;
64     dist = 20. / 1000 * k;

```

```

64
65     lk_sum = lk_df;
66     lk_sum(k+1:end) = lk_sum(k+1:end) + lk_df(1:1000-k);
67
68     figure(5);
69     a1 = plot(lr , lk_sum);
70     hold on;
71     a2 = plot(lr(k+1:end) , lk_df(1:1000-k));
72     hold on;
73     a3 = plot(lr , lk_df);
74     legend([a1; a2; a3], 't1+t2', 't2', 't1');
75     title(sprintf('dist = %f', dist));
76
77     %% Part 6
78
79     [lx, ly] = meshgrid(-1:1:100, -1:1:100);
80     lr = sqrt(lx.^2 + ly.^2);
81     lk_ftm = kernel_diffraction(lr, 1);
82     lk_ftm_o = occlusion_diffraction(lr, 0.25, 1);
83
84     lk_ftm(lr == 0) = 0;
85     lk_ftm_o(lr == 0) = 0;
86
87     figure(6);
88     subplot(1, 2, 1);
89     imshow(fftshift(abs(fft2(lk_ftm)))), [], 'InitialMagnification', '
        fit');
90     title('FFT - Tache Airy');
91     subplot(1, 2, 2);
92     imshow(fftshift(abs(fft2(lk_ftm_o)))), [], 'InitialMagnification',
        'fit');
93     title('FFT - Occlusion');

```